

Никельсодержащие углеродные нанотрубки и наночастицы, полученные в плазме высокочастотной дуги

© И.В. Осипова^{*,**}, Н.Г. Внукова^{*,**}, Г.А. Глушченко^{**}, А.С. Крылов^{**}, Е.В. Томашевич^{***},
С.М. Жарков^{*,**}, Г.Н. Чурилов^{*,**}

* Институт инженерной физики и радиоэлектроники, Сибирский федеральный университет, Красноярск, Россия

** Институт физики им. Л.В. Киренского Сибирского отделения Российской академии наук, Красноярск, Россия

*** Институт химии и химической технологии Сибирского отделения Российской академии наук, Красноярск, Россия

E-mail: churilov@iph.krasn.ru

(Поступила в Редакцию 24 сентября 2008 г.)

В окончательной редакции 26 января 2009 г.)

Приведены результаты исследования никельсодержащих углеродных наноструктур, полученных в процессе плазмохимического синтеза в потоке углеродно-гелиевой плазмы атмосферного давления при питании дуги высокочастотным током. Показано, что при таких условиях конверсия графита в углеродный конденсат составляет 98 wt.%, а содержание в нем углеродных нанотрубок и никеля — 72 и 10 wt.% соответственно. Последовательная обработка азотной и соляной кислотами позволила выделить очищенные углеродные нанотрубки и наночастицы никеля, покрытые углеродной оболочкой толщиной ~ 50 nm, с содержанием никеля 4 wt.%. Приводятся данные о диаметрах образующихся нанотрубок и состоянии углерода в образцах.

Работа выполнена при частичной поддержке фондов РФФИ (проект № 08-08-00521) и Междисциплинарного интеграционного проекта (постановление № 55, проекта № 12).

PACS: 78.67.Ch, 81.07.-b

1. Введение

В настоящее время углеродные нанотрубки (УНТ) хорошо исследованы. Уникальные свойства этого материала показали возможности его применения для решения задач электроники, материаловедения и многих других областей техники и технологии. Применение УНТ существенно сдерживается высокой себестоимостью их производства. УНТ, обладающие уникальными электрическими, магнитными, оптическими и прочностными свойствами, обещают революцию в материаловедении и электронике. Кроме того, наноразмерность УНТ делает соблазнительной замену ими элементов аналогичного назначения в уже существующих приборах. УНТ, заполненные 3d-металлами и их соединениями, проявляют интересные магнитные и электрические свойства [1]. В связи с этим их получение и исследование актуальны не только с фундаментальной точки зрения, но и с точки зрения возможных приложений.

Существует довольно много способов получения УНТ. Большая их часть основана на конденсации углерода из газовой фазы при низком давлении с использованием катализаторов, обычно переходных металлов, позволяющих получать более упорядоченные структуры. Металлы группы VIII Периодической системы элементов (Fe, Co, Ni) в качестве катализаторов способствуют получению одностеночных нанотрубок.

Метод лазерной абляции позволяет получать до 96% одних только УНТ в образующемся углеродном конденсате, но является весьма дорогостоящим и трудоемким.

Для получения одного грамма бездефектных УНТ необходимо поддерживать строго определенную температуру 1200°С и давление 66500 Па в течение нескольких часов, а использование катализаторов требует весьма трудоемкого приготовления облучаемой мишени [2].

Наиболее распространенными методами синтеза УНТ являются лазерная абляция, химическое осаждение из газовой фазы и метод термического распыления графитового электрода в плазме дугового разряда в атмосфере He. Содержание УНТ в катодном депозите при электродуговом методе синтеза обычно не более 60%. Остальной углеродный конденсат, образующийся на охлаждаемых стенках разрядной камеры, содержит довольно малое количество УНТ. Кроме того, УНТ на поверхности катода собираются в цилиндрические пучки, а при нестабильном токе дуги проявляют тенденцию к спеканию. Выделение УНТ из катодного депозита — трудоемкий и дорогостоящий процесс. С другой стороны, хорошо известно, что перевод графита в углеродный конденсат, содержащий УНТ и фуллерены, без образования катодного депозита возможен при питании дуги переменным током ВЧ-диапазона [3].

2. Экспериментальная часть

В настоящей работе мы выделяли и исследовали компоненты конденсата, полученного в результате охлаждения плазмы из углерода, никеля и гелия, образующейся в ВЧ-дуге при атмосферном давлении [3]. Дуга зажигалась между двумя горизонтально расположенными графито-

выми стержнями диаметром 5.5 mm. Мелкодисперсный порошок никеля с размером частиц $0.5 \mu\text{m}$ помещался в осевое отверстие графитовых стержней-электродов. Соотношение вводимого в плазму никеля и углерода составляло 1:7. Питание дуги осуществлялось током 350 А, частотой 66 kHz, что позволяло практически весь материал электродов (98%) переводить в конденсат, образующийся на стенках водоохлаждаемой камеры. Конденсат (образец № 1) со стенок камеры подвергался кипячению при температуре 90°C в концентрированной азотной кислоте в течение 3.5 h. Отфильтрованный (бумажный фильтр марки ФС-III) нерастворимый в кислоте осадок, который составил 76 wt.% от исходного конденсата, отмывали дистиллированной водой от кислоты и образовавшейся соли и высушивали при нормальных условиях (образец № 2).

Раствор, полученный при кипячении сажи в кислоте, выпаривали, после чего остаток отмывали в дистиллированной воде при температуре 60°C до достижения pH-раствора, равного 5. Полученный таким образом осадок растворяли в разбавленной хлороводородной кислоте при температуре 90°C и фильтровали. Нерастворившийся остаток снова отмывали дистиллированной водой и высушивали (образец № 3).

Структура и состав образцов исследовались методами порошковой рентгеновской дифракции (дифрактометр ДРОН-4), рентгенофлуоресцентного анализа (спектрометр Bruker Pioneer S4), комбинационного рассеяния КР (Horiba Jobin Yvon T64000), рентгеновской фотоэлектронной спектроскопии и Оже-спектроскопии (сверхвысоковакуумный фотоэлектронный спектрометр SPECS). Изображения образцов были получены на сканирующем электронном микроскопе с полевой эмиссией JEOL JSM-7001F.

3. Результаты и обсуждение

Исследование образцов №1–3 методом рентгенофлуоресцентного анализа показало, что в них содержится 10, 5 и 4 wt.% никеля соответственно. При анализе образцов №1–3 методом электронной микроскопии зарегистрировано, что большая часть углеродного конденсата представлена в виде УНТ, содержащих металлические частицы, размер которых находится в диапазоне от нескольких единиц до нескольких десятков нанометров (рис. 1).

Спектры КР образцов №1–3 характеризуются общим набором колебаний УНТ в диапазоне от 10 до 3500 cm^{-1} . Во всех спектрах в области 180 cm^{-1} присутствует колебание, соответствующее „дыхательной“ моде (радиальным колебаниям нанотрубок). Спектр КР образца №2 в области „дыхательной“ моды одностеночной УНТ представлен на рис. 2. Положения максимумов лоренцевских компонент отвечают частотам 163, 169, 175, 182, 193 и 199 cm^{-1} и соответствуют нанотрубкам с диаметрами 1.44, 1.38, 1.33, 1.29, 1.21 и 1.78 nm соответственно [4].

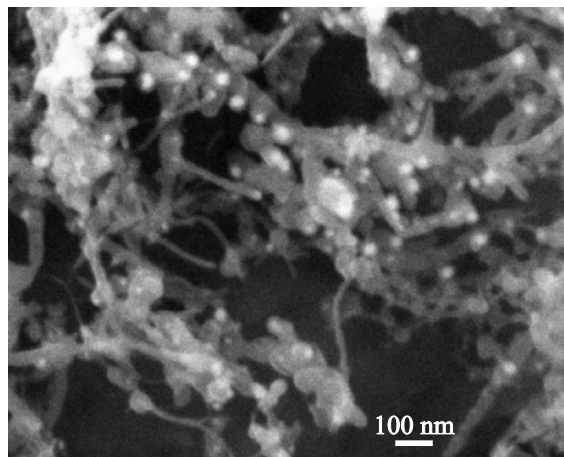


Рис. 1. Электронно-микроскопическое изображение образца № 1.

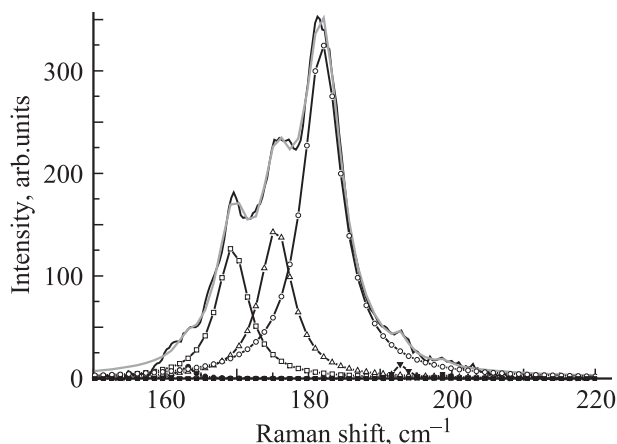


Рис. 2. Спектр КР образца № 2 в области „дыхательной“ моды УНТ.

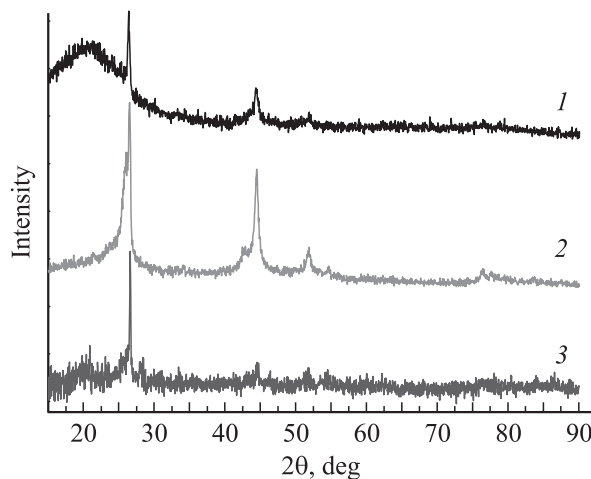


Рис. 3. Рентгенофазовый анализ. 1 — образец № 1; 2 — образец № 2; 3 — образец № 3.

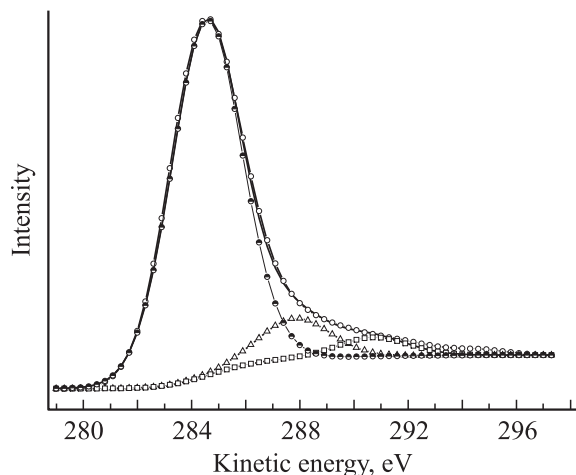


Рис. 4. Фотоэлектронный спектр образца №2 в области линии $C1s$.

На рентгенограммах образцов №1–3 присутствуют рефлексы никеля (44.3 и 51.7°) и графита (26.4°) (рис. 3). Кроме этих рефлексов на рентгенограмме образца №2 наблюдаются рефлексы меньшей интенсивности, соответствующие никелю (76.4°) и графиту (42.6 и 54.5°). Рефлекс 25.8° , присутствующий на рентгенограмме образца №2, соответствует структуре графита с расстоянием между слоями 3.42 \AA . Он проявляется после удаления мелкодисперсного углерода из конденсата. На рентгенограмме образца №1 в области $10\text{--}30^\circ$ наблюдается гало от аморфной части, которое пропадает после его обработки азотной кислотой (образец №2).

Фотоэлектронный спектр в области линии $C1s$ образца №2, содержащего очищенные УНТ, представлен на рис. 4. Гаусс-лоренцевское разложение экспериментальной линии $C1s$ образца №2 позволило выделить компоненту, соответствующую связи $C\text{--}C$ с гибридизацией sp^2 , характеризующей УНТ ($E = 284.6 \text{ eV}$) [5] и компоненты, характеризующие наличие двойных и одинарных связей C и O ($E = 288.0$ и 290.9 eV) [6]. Компонента линии $C1s$, соответствующая двойным и одинарным связям C и O , наблюдается и в образце №1. Методы фотоэлектронной и Оже-спектроскопии позволили установить, что образец №3 не содержит кислорода. Гаусс-лоренцевское разложение спектральной линии $C1s$ образца №3 позволило выделить компоненты, соответствующие связи $C\text{--}H$ ($E = 283.0 \text{ eV}$), связи $C\text{--}C$ с гибридизацией sp^3 , характеризующие УНТ ($E = 284.6 \text{ eV}$), и связи $C\text{--}C$ с гибридизацией sp^2 ($E = 285.2 \text{ eV}$) [6], характеризующие искривление УНТ. Таким образом, метод позволил определить содержание УНТ в образцах №1–3: 72 , 81 и $56 \text{ wt.}\%$ соответственно. Линия никеля $Ni2p_{3/2}$ в образцах №1–3 смещена на 0.4 eV в сторону больших энергий относительно металлического никеля, причем в образце №3 она проявляется только после стравливания поверхности ионным пучком на глубину $\sim 50 \text{ nm}$.

4. Заключение

Проведенные исследования показали, что метод получения УНТ в плазме дуги ВЧ-тока является одним из наиболее эффективных методов синтеза. В углеродно-гелиевой плазме при использовании никеля в качестве катализатора был получен углеродный конденсат с содержанием наночастиц никеля $\sim 10 \text{ wt.}\%$ при конверсии графита $\sim 98\%$. В исходном углеродном конденсате и в остатке после обработки азотной кислотой содержание УНТ составило 72 и $81 \text{ wt.}\%$ соответственно. Последовательная обработка азотной и соляной кислотами позволила выделить частицы никеля, покрытые углеродом. Содержание в них никеля $4 \text{ wt.}\%$, толщина углеродной оболочки не менее 50 nm . По спектру КР были определены диаметры УНТ, равные 1.44 , 1.38 , 1.33 , 1.29 , 1.21 и 1.78 nm .

В дальнейшем мы планируем опубликовать результаты исследований магнитных свойств образцов №1–3.

Список литературы

- [1] A.D. Rud, A.E. Perekos, V.M. Ogenko, A.P. Shpak, V.N. Uvarov, K.V. Chuistov, A.M. Lakhnik, V.Z. Voynash, L.I. Ivaschuk. *J. Non-Cryst. Solids* **353**, 3650 (2007).
- [2] П.Н. Дьячков. Углеродные нанотрубки: строение, свойства, применения. Бином, М. (2006). 293 с.
- [3] Г.Н. Чурилов. Патент RU 2320536 C2, 27.03.2008. МПК C01B31/00, B82B3/00.
- [4] E.D. Obratsova, J.-M. Bonard, V.L. Kuznetsov. *AIP Conf. Proc.* **442**, 132 (1998).
- [5] Е.М. Пажетнов, С.В. Кошечев, А.И. Боронин. *Кинетика и катализ* **44**, 450 (2003).
- [6] B. Parekh, T. Debies, P. Knight, K.S.V. Santhanam, G.A. Takacs. *J. Adhesion Sci. Technol.* **20**, 1833 (2006).